



何平炉熔池 吹压缩空气 强化冶炼

中国工业出版社

(苏联)M·另·梅德日波日斯基著

М. Я. Меджибожский
ИНТЕНСИФИКАЦИЯ МАРТЕНОВСКОЙ ПЛАВКИ
ВДУВАНИЕМ ВОЗДУХА В ВАННУ
МЕТАЛЛУРГИЗДАТ 1959

* * *

向平炉熔池吹压缩空气强化冶炼

李大經 等譯

王 鋼 校對

*

冶金工业部科学技术情报产品标准研究所书刊编辑室编辑
(北京灯市口71号)

中国工业出版社出版(北京佟麟閣路丙10号)

北京市书刊出版业营业登记证字第110号

中国工业出版社第三印刷厂印刷

新华书店北京发行所发行·各地新华书店經售

*

开本850×1168¹/32·印张5³/16·字数125,000

1965年3月北京第一版·1965年3月北京第一次印刷

· 印数0001—2,220·定价(科六) 0.80元

*

统一书号: 15165·3530 (冶金~566)

編者的話

向平爐熔池吹壓縮空氣是一種較為經濟的強化冶煉的方法。多年來，國外在這方面做了不少工作，取得了良好的效果。本書介紹的主要是蘇聯幾個廠的試驗資料，間有歐美工廠的点滴情況。內容包括：向平爐熔池吹壓縮空氣強化冶煉的理論基礎，理論計算；向熔池輸氧和空氣的各種方法；試驗熔煉的結果和平爐強化冶煉的技術經濟指標。

參加本書翻譯工作的有：李大經、李炳源、金山同、王國忱。全書經張緒鍔同志審閱，由王鋼同志校對。

本書可供科學研究人員、冶金企業工程技術人員和高等院校師生閱讀參考。

目 录

緒 言	1
第一篇 向平炉熔池吹压缩空气的理論基礎	5
第一章 鋼的脫碳理論	5
第二章 向平炉熔池吹空气时熔池的攪拌强度	36
第三章 強化鋼脫碳過程中渣內金屬滴（鋼珠）的作用	48
第四章 向熔池吹空气时平炉氧化性气氛的作用	55
第五章 用空气和氧吹炼时熔池溫度的提高	65
第六章 強化熔炼对鋼质量的影响	75
第七章 向熔池吹空气过程的計算，熔炼工艺的示范方案	84
第二篇 向平炉熔池吹空气的實驗資料	90
第一章 向熔池引入氧气与空气的方法	90
第二章 用空气吹炼时鋼的质量	106
第三章 用空气吹炼时熔炼時間的縮短	112
第四章 向熔池吹压缩空气时，平炉的熔炼工艺	117
第五章 用压缩空气吹炼时的溫度制度	131
第六章 向平炉熔池吹氧气或压缩空气时的降碳速度	139
第七章 用空气吹炼时的金属收得率，热工和技术經濟指标	145
參考文獻	159

緒 言

吹氧强化平炉中的燃料燃烧过程以及在所有炼鋼設備中强化金属杂质的氧化过程，是增加鋼产量的强有力手段。但是，近几年內，在苏联还不是所有的平炉車間都能用氧气来强化炼鋼過程的。1960年苏联仍有約占全部鋼产量60%的鋼，是不用氧气冶炼的。显然，在最近时期預料不会建設氧气站的那些工厂，必須采用一系列其他的有效方法来强化平炉冶炼过程。其中之一，就是向平炉熔池吹压缩空气，以加速脱碳、金属加热、造渣、鋼的脱磷和脱硫。

只在具有功率足够强大的现代化氧气站因而能够得到廉价氧气的工厂里，以及由于平炉生产率的提高而使冶炼費用的降低超过了氧气价值的工厂里，利用氧气在經濟上才会有效。目前，由于氧气价格高昂，在大多数工厂采用氧气炼鋼是不合算的。在設有氧气站的工厂里，在較好的情况下，也仅能使金属成本略为降低。将来，由于实现一系列的专门措施（建設生产能力大于10000标准米³/小时的设备和生产能力9~10万标准米³/小时的区域氧气站，充分利用时不仅可供炼鋼設備而且可供高炉使用氧气；回收氧气生产的副产品；提高平炉車間輔助工段的通过能力等）①可以降低氧气的成本，而使氧气炼鋼获得利潤。

采用压缩空气强化平炉冶炼过程，在任何情况下，甚至在炉子产量增加不多的情况下，在經濟上都是有利的，因为空气压缩机和压缩空气的价值比氧气站和氧气的价值要便宜几十倍。

为了强化冶炼向平炉熔池吹入压缩空气，从而将平炉和轉炉

① A.B.列斯闊夫，工业經濟报№60/204，1957年5月19日。B.Ф.安德列耶夫，《鋼》杂志1958年第6期561頁。

冶炼的优点結合在一个設備中①，是作者于1939年提出的。在斯大林格勒的“紅十月”工厂以及其后在庫茲涅茨克鋼鐵公司所进行的試驗証明，采用这种方法能够使小型平炉（容量为10~30吨）的生产率提高15~25%，而大型平炉（容量为185吨和185吨以上）則提高8~12%。

这种方法的实质是，向平炉熔池的鋼液中吹压缩空气时，发生金属和炉渣的强烈攪拌，这种攓拌加速了包括氧从炉气轉入鋼液在内的全部过程。在此情况下，炉气变为一种独特的“氧气站”，变为廉价的热氧（加热到1700°C）的供应者。炉气中的氧气量，取决于由鼓风机經蓄热室砖移送入炉中的空气量和燃料消耗量之比，并且可以在較寬的范围内进行調节。向平炉熔池吹入压缩空气时，炉气中的氧积极参与鋼液的脱碳过程，这将保証降碳速度和熔池升溫速度与吹工业氧时大致相同（在吹入熔池的气体压力和消耗量相同的情况下）。

这是由于向熔池吹入純氧时，氧由炉气进入鋼液的量不大；而当向熔池吹入压缩空气时，鋼液从炉气中吸收的氧量比由压缩空气供給鋼液的氧量大許多倍。

在1934~1940年所进行的實驗中，我們就首先发现了向平炉熔池吹压缩空气时，炉气中的氧积极的参与鋼液的脱碳過程^[10]。这个現象具有原則性的重要意义，因为能够在压缩空气消耗量較小的情况下获得巨大的效果。

因此，在向平炉熔池吹压缩空气时，熔池中碳的氧化过程与大型和小型酸性轉炉炼鋼法是有根本区别的。在那里脱碳仅靠鼓入空气中的氧来进行，并且熔池溫度随之升高不多，因为空气中氮的冷却作用急剧地降低了被熔池所利用的碳的燃烧反应热量。

許多年来，由于一系列原因阻碍了在生产中广泛运用向平炉熔池吹入压缩空气以强化冶炼过程的方法。这些原因是：就心熔池冷却、鋼中的含氮量增加、成品鋼的质量变坏以及炉子砌砖的

① 1939年11月27日向鋼鐵工业人民委員部（НКЧМ）发明事业局提出的第27740号申請書。

磨损增加；向熔池吹入空气的合适的方法研究得还不够；空气压缩机的生产能力不够以及厂内空气管道中的空气压力低。所有这些原因目前均已消除。

作者多年的研究和许多工厂的资料证明，上述顾虑是毫无根据的，并且证实，向平炉熔池吹入空气，钢中的含氮量没有增加，强化了金属的加热，钢液没有过氧化，成品钢的质量许多指标都有所改善，而且炉子的砌砖也没有严重的损耗（在吹压缩空气时正确地控制燃料消耗和砌砖温度的情况下）。

改善向熔池吹氧化性气体的方法和减少炉体损耗程度的问题，对向熔池吹氧和吹入压缩空气同样有关。在国内外的工厂里不断的改进风嘴结构，研究合理的鼓风制度，用通过炉顶引入水冷风嘴的机械化送风方法代替陈旧的向熔池送风的方法（通过炉门插入不加冷却的管子）使得向熔池送氧气或空气能够不间断地进行，而不妨碍炉子的工作和运输，也不显著降低炉体寿命。

保证工厂以足够的压缩空气资源并没有很大困难，因为兴建大型压缩空气站比建设氧气站要便宜和简单得多。

近年来，采用压缩空气强化平炉冶炼的有效性在冶金界已被公认。因此，于1956年5月29日～6月1日在莫斯科钢厂举行的关于氧在冶金中的应用的全苏科学会议的决议中曾建议：“对于在最近几年内不建氧气站的工厂，可以采用向钢液中吹压缩空气的方法，加速脱碳反应”①。

采用压缩空气吹炼以及强化燃料燃烧，已在许多工厂包括某些用氧的工厂的平炉车间内得到了顺利推行。因此，广泛应用氧气作为炼钢过程的高效强化剂并不排斥压缩空气的利用，即使后者的效果较小。如果不把上述两种强化剂对立起来，就可以有足够的理由认为，在平炉中利用压缩空气能很好的补充或在很大程度上代替用氧，特别是在那些没有氧气站或者氧气资源不足、氧气成本很高的工厂里。

① Сб. «Применение кислорода в металлургии», Металлургиздат, 1957, стр.367.

压缩空气也可以成功地应用于电弧炉来吹炼金属或在铁水罐中用于铁水脱硅。

正如近几年的研究所发现，利用压缩空气吹炼金属的优点是灰尘生成较少，因而与吹氧或者甚至同水氧混合物相比，金属的烧损较少，耐火材料的耗损也较小。

作者希望，对平炉熔池中吹氧气和压缩空气的理论基础的阐述和对本人及国内外文献上所发表的有关实验资料的总结，能帮助生产工作者顺利地运用上述强化冶炼的方法，并且自觉地操纵冶炼过程。这就是本书的目的。

第一篇

向平炉熔池吹压缩空气的理论基础

第一章 钢的脱碳理论

金属中碳的氧化反应是平炉炼钢过程中的主要反应。由于一氧化碳气泡生成并穿过厚层的金属和炉渣上浮而引起的熔池沸腾，保证了熔池的搅拌，加速了火焰向金属的传热和有害杂质由金属向炉渣的排除，促进了钢液成分和温度的均匀化和气体与炉渣夹杂从钢液中大量排除。没有沸腾，平炉炼钢过程就不能实现。

平炉废钢法炉料中的含碳量不高（1.2~1.5%），但对于进行正常的熔炼是足够的。此法主要是靠炉气中的氧使碳氧化到成品钢的规定含量。

平炉矿石法和废钢-矿石法炉料中含有许多的碳（2.5%以上），仅靠炉气中的氧来氧化碳的速度大大落后于固体炉料的熔化，和把钢液加热到规定温度的速度。为了消除这种不相适应的情况，即采用铁矿石，以加速金属中碳和其他杂质的氧化。但是，用补加矿石来加速金属脱碳的方法是不完善的，并受外来热源（燃料）向熔池供热强度的限制，这部分热量应该补偿碳氧化的吸热反应和矿石熔化所消耗的热量。当矿石加入量过多时，由于熔池温度下降和由此而造成的氧从炉渣向金属转移速度的降低，金属的脱碳过程甚至会减缓。

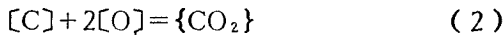
向熔池输送氧气或压缩空气是强化脱碳过程比较完善的方法，由于反应放热，故能保证金属升温与碳氧化的同时性。这种方法开辟了强化冶炼的广泛可能性。

以最新的实验资料和先进的生产实践为基础的现代脱碳过程

理論，能够阐明过程的限制环节并論証既加速全部过程又不使金属质量变坏的可能性。

1. 钢中碳氧化反应的平衡条件

钢中碳的氧化是按照下列反应进行的①：



反应(2)只有在 $[%C]$ 少时才有意义，当 $[%C] \geq 0.2\%$ 时实际上不进行。

反应(1)的平衡常数：

$$K_C = \frac{a_{[C]} \times a_{[O]}}{P_{CO}} = \frac{[%C][%O]_{平衡} f_C f_O}{P_{CO}} \quad (3)$$

式中 $a_{[C]}$, $a_{[O]}$, f_C 和 f_O ——溶于金属中的碳和氧的活度和活度系数；

P_{CO} ——与金属平衡的气相中 CO 的分压力，大气压；

$[%C]$ 和 $[%O]_{平衡}$ ——平衡时金属中碳和氧的浓度，重量%。

根据馬歇尔和启普曼的数据[6, 7]， $f_C \times f_O$ 随着 $[%C]$ 的增加而降低。如果假定这种降低是由 f_O 引起的，则按照他們的意见，这是因为钢液中溶解了一氧化碳($[%CO] = 0.0028 P_{CO}$)的缘故。氧的“結合”部分($[%O]_{CO} = 0.0016 P_{CO}$)随 $[%O]$ 的减少，即随 $[%C]$ 的增加而增加，这就引起 f_O 下降。

但是，正如[6, 7]研究中及以后突克多干和其他人的研究[8]中由实验所确定的，随着 $[%C]$ 的增加两个活度系数都发生变化，并且 f_C 急剧地增加，而 f_O 的降低要比仅仅考虑金属中存在一部分“結合”的氧(呈溶解的 CO 状态)所预期的要大得多。

B.B. 斯达尔克、O.A. 易新和 П.В. 格尔德都否认 CO 分子

① $[]$ ——金属中； $()$ ——渣中元素； $\{ \}$ ——气体中元素。

在铁中的可溶性，因为它的溶解过程伴随着生成碳和氧原子的分解。斯达尔克同时对马歇尔和启普曼的部分数据的准确性提出了疑义，并在分析加工了试验的可靠部分后得出结论，在 $[\%C] < 1\%$ 的范围内 f_c 和 f_o 实际上等于 1。瓦列^[9]支持了斯达尔克的结论，他对^[6]的数据进行统计加工的基础上，推断在 $[\%C]$ 小于 2.3% 的范围内 $f_c = f_o = 1$ 。

C.I. 菲利波夫^[5]根据自己的试验数据同样得出了 f_c 和 f_o 为一常数，而且仅在 $[\%C] = 0.1 \sim 0.4\%$ 的范围内发现 $m = \frac{[\%C][\%O]}{P_{CO}}$ 数值的变化 ($[\%C] = 0.2\%$ 时为最小)。菲利波夫认为，这种变化与 C 和 O 在 CO 气泡表面上的吸附有关。

在许多苏联作者的著作里承认活度系数随 $[\%C]$ 的提高而变化 (f_c 提高和 f_o 降低)，这是由于不存在理想溶液与 Fe、C 和 O 原子不等价之故^[1, 2, 3]。

实际计算中常利用下列数值：

$$m = \frac{[\%C][\%O]_{平衡}}{P_{CO}} = \frac{K_c}{f_c \times f_o} \quad (4)$$

应该注意， m 值不是真正的平衡常数，因为碳和氧的浓度不等于它们的活度。只有当 $[\%C] \rightarrow 0$ 时， $f_c \times f_o \rightarrow 1$ ， $m \rightarrow K_c$ 。

H. 瓦克尔和 E. 哈密尔顿首先确定了 m 值^[11]。按照他们的数据，当碳的浓度不高， $t = 1600^\circ$ 时， $m = [\%C][\%O]_{平衡} = 0.0025$ (在 $P_{CO} = 1$ 大气压下)。

在其后一些研究中确定过 $K_c = m_{[C] \rightarrow 0}$ 与温度的关系。按一般形式它可以用下列方程式表示：

$$\lg K_c = \frac{A}{T} + B \quad (5)$$

式中 A 和 B ——系数： $A = -\frac{Q}{4.576}$ ；

Q ——反应 (1) 的热效应，卡/克分子；

T ——温度， $^\circ\text{K}$ 。

反应热效应的数值和符号可从下式求出：

$$Q = -4.576 A \quad (6)$$

表 1 的数据指出(除 J.R. 格魯斯金 [13] 所得的不够可靠的结果外)，反应 (1) 的热效应不大，而且虽然它的符号直到目前尚未确定，可以认为 K_c 值随温度的变化不大。根据一系列的研究数据，其平均值等于 0.0025。

按不同研究者的数据，方程式 (5) 中系数 A 和 B

及反应 (1) 的热效应数值

表 1

作 者	A	B	Q , 卡/克分子	不同温度 ($^{\circ}\text{C}$) 下 $K_c \times 10^4$	
				1500	1600
启普曼和薩馬林 [12]	-2400	-1.327	+10980	21	25
馬歇尔和启普曼 [6]	-1860	-1.643	+8510	20	22
格魯斯金 [13]	+5900	-5.77	-27000	35	24
克拉馬罗夫 [14]	+500	-2.744	-2290	34	33
罗斯托夫策夫 [1]	+1470	-3.47	-6720	23	21
菲利波夫 [5]	+1070	-3.075	-4900	33	31
突克多干 [8]	-1056	-2.131	+4830	19	20

平衡乘积 $[\% \text{C}] \cdot [\% \text{O}]_{\text{平衡}}$ (外压力为一大气压时) 在 $[\% \text{C}]$ 低时，稍小于 0.0025 (由于在气相中存在 CO_2 ，结果使 $P_{\text{CO}} < 1$ 大气压) 并随 $[\% \text{C}]$ 的提高而增加，这同 $f_c \times f_o$ 减小有关。例如，按照突克多干 [8] 的数据，在 $[\% \text{C}] = 1\%$ 时， $m = 0.0036$ ；而当 $[\% \text{C}] = 2.0\%$ 时， $m = 0.0064$ 。

同 CO 气泡平衡的钢中氧的浓度可按下式计算：

$$[\% \text{O}]_{\text{平衡}} = \frac{m P_{\text{CO}}}{[\% \text{C}]} \quad (7)$$

气泡内 CO 的分压力 (公斤/厘米²) 近似地等于对气泡的外压力①：

$$P_{\text{CO}} \approx 1 + H_{\text{金}} \gamma_{\text{金}} + h_{\text{液}} \gamma_{\text{液}} + 1.02 \times 10^{-6} \times \frac{2\sigma}{r_{\text{泡}}} \quad (8)$$

① 气泡内氮和氢的含量一般不大。

式中 $H_{\text{金}}$ 和 $h_{\text{渣}}$ ——在气泡以上金属和炉渣层的高度，厘米；
 $\gamma_{\text{金}}$ 和 $\gamma_{\text{渣}}$ ——金属和炉渣的比重，公斤/厘米³；
 σ ——钢液的表面张力（1000～1300，达因/厘米）；
 $r_{\text{泡}}$ ——气泡半径，厘米。

H.H.多布罗霍托夫 [15] 首次考虑到毛细管压力值 $\left(\frac{2\sigma}{r_{\text{泡}}}\right)$ ，

该值只有当气泡的半径小于1毫米时才具有重要意义。

在实际计算中 $h_{\text{渣}}\gamma_{\text{渣}}$ 的数值不超过 0.05 公斤/厘米²，可以忽略不计，而采用

$$[\% \text{O}]_{\text{平衡}} \approx \frac{m(1 + H_{\text{金}}\gamma_{\text{金}})}{[\% \text{C}]} \quad (9)$$

在熔池的下层（炉底上）：

$$[\% \text{O}]_{\text{平衡下}} \approx \frac{m(1 + H_{\text{平均}}\gamma_{\text{金}})}{[\% \text{C}]} \quad (10)$$

熔池的平均深度可用下式计算：

$$H_{\text{平均}} = K_{\text{容积}} \times H_{\text{最大}} = \frac{V_{\text{熔池}}}{S_{\text{熔池}}} \quad (11)$$

式中 $K_{\text{容积}}$ ， $H_{\text{最大}}$ ， $V_{\text{熔池}}$ 和 $S_{\text{熔池}}$ ——容积系数，熔池的最大深度、容积和界面面积。

在金属的上层（炉渣下） $H_{\text{金}} = 0$ 并 $P_{\text{CO}} \approx 1$ 大气压：

$$[\% \text{O}]_{\text{平衡上}} \approx \frac{m}{[\% \text{C}]} \quad (12)$$

2. 沸腾熔池中的氧含量

按照现代的观点，在纯沸腾期 CO 气泡主要是在炉底上生成的。因此，熔池中的实际含氧量不可能低于同炉底附近气泡内的压力相平衡的氧量〔参看方程式(10)〕。

在沸腾的熔池中上层，金属的含氧量应当稍高于炉底附近的平衡含量，并高出 $\Delta[\text{O}]$ 值，以保证氧以相应的速度从熔池的上

层向下层并从炉底附近的金属向气泡表面扩散：

$$\Delta[\text{O}] = \Delta[\text{O}]_{\text{上层}} + \Delta[\text{O}]_{\text{下层}} \quad (13)$$

式中 $\Delta[\text{O}]_{\text{上层}}$ ——上层和下层金属中氧的浓度差；

$\Delta[\text{O}]_{\text{下层}}$ ——下层金属与气泡表面的氧的浓度差。

在上部金属层中：

$$[\% \text{O}] = [\% \text{O}]_{\text{平衡}} + \Delta[\text{O}] \approx \frac{m(1 + H_{\text{平均}} \gamma_{\text{金}})}{[\% \text{C}]} + \Delta[\text{O}] \quad (14)$$

在大量分析 [16] 的基础上查明，大型平炉熔池中的 $[\% \text{O}]$ 在纯沸腾期相当准确地符合方程式：

$$[\% \text{O}] = \frac{0.0035}{[\% \text{C}]} + 0.004 \quad (15)$$

在上述炉中 $H_{\text{平均}} \approx 60$ 厘米，而方程式(14)中的分子数值是：
 $0.0025(1 + 60 \times 0.007) \approx 0.0035$ ，这个数值与方程式(15)中的系数相吻合，因此证明在推导方程式(14)时的理论前提是正确的 [16]。

如图1(曲线3)所示的(15)关系与A.H.莫罗佐夫的数据 [17] 能很好地吻合。

测定 $[\% \text{O}]$ 的试样通常是从上部金属层中选取，此处的压力近

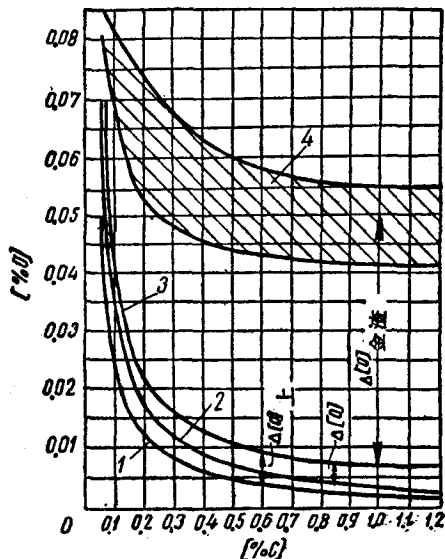


图 1 金属中平衡的和实际的氧浓度与含碳量的关系：

1—当 $P_{\text{CO}} = 1$ 大气压时的平衡；2—当 $P_{\text{CO}} = 1.4$ 大气压时的平衡；3—大型平炉纯沸腾期熔池中的平均实际含氧量；4—在金属与炉渣平衡时的最大可能含氧量： $[\% \text{O}]_{\text{平衡}} = [\% \text{FeO}] f_{\text{FeO}} \times L_{\text{FeO}}$

于 1 大气压。似乎这些试样中的 $[\% \text{O}]$ 应该低于炉底附近金属中

的含氧量，因为那里的压力要高得多。但是，由于氧的扩散流是由上而下的，所以上部金属层中的[%O]应比下部稍高一些。

在沒有表面沸騰的条件时，渣层下面鋼液中的含氧量[%O]較低，这必将使氧向生成气泡处的扩散終止，并且使沸騰停止。这就必然会导致氧从渣中进入上部金属层，而使其增加到建立起必要的浓度差为止。

3. 金属和炉渣中氧的平衡条件

与炉渣呈平衡时，鋼中的含氧量($[\%O]_{\text{渣}}^{\text{平衡}}$)取决于炉渣中氧化亚鐵的活度(a_{FeO})和分配常数(L_{FeO})：

$$[\%O]_{\text{渣}}^{\text{平衡}} = a_{\text{FeO}} \times L_{\text{FeO}} = (\% \text{FeO}) f_{\text{FeO}} \times L_{\text{FeO}} \quad (16)$$

式中 $(\% \text{FeO})$ 和 f_{FeO} ——渣中氧化亚鐵的重量百分数和活度系数。

L_{FeO} 与溫度的关系示于图 2 和下列公式 [1, 7]：

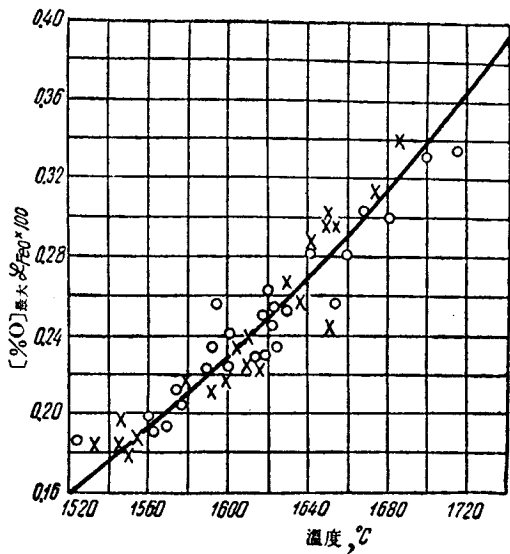


图 2 氧在液态鋼中的溶解度（在純氧化亞鐵渣下）：
○—启普曼和菲特尔斯的数据；×—铁洛尔和启普曼的数据

$$\lg L_{\text{FeO}} = \lg \frac{[\% \text{O}]_{\text{最大}}}{100} = -\frac{6320}{T} + 0.734, \quad (17)$$

式中 $[\% \text{O}]_{\text{最大}}$ ——与纯氧化铁渣 ($a_{\text{FeO}} = 100\%$) 相平衡时，钢中最大的含氧量。

在 1600°C 时， $L_{\text{FeO}} = 0.0023$ ； $[\% \text{O}]_{\text{最大}} = 0.23\%$ 。

试验数据 [7] 表明，仅在酸性（为 SiO_2 所饱和的）或极碱性炉渣内， $f_{\text{FeO}} \approx 1$ 和 $a_{\text{FeO}} \approx (\% \text{FeO})$ 。当炉渣碱度 ≈ 2 时呈现 f_{FeO} 的最大值：

$$\frac{n_{\text{CaO}} + n_{\text{MgO}} + n_{\text{MnO}}}{n_{\text{SiO}_2} + 2n_{\text{P}_2\text{O}_5} + 0.5(n_{\text{Fe}_2\text{O}_3} + n_{\text{Al}_2\text{O}_3})} \approx 2,$$

式中 n ——在 100 克炉渣中氧化物的克分子数。

随炉渣碱度趋近于 2，氧化亚铁的活度系数增加。按照炉渣的分子理论 [7]，这是由于形成了硅酸盐和其他化合物 ($N_{\text{FeO}} = \frac{n_{\text{FeO}}}{\sum n}$ 增加) 而使分子总数减少之故。根据炉渣的离子理论，这种现象是由于 Ca^{++} 和 Fe^{++} 阳离子与 SiO_4^{4-} 和 O^{2-} 阴离子相互作用的能量不同而产生。

渣中氧化亚铁的活度和活度系数可由实验图表 [7] 确定。对于碱性炉渣可以采用下列方程式 ①：

$$a_{\text{FeO}} = \frac{100(\% \text{FeO})}{1.3(\% \text{CaO}) + (\% \text{FeO} + \% \text{MnO}) - 1.8(\% \text{SiO}_2 + \% \text{P}_2\text{O}_5 - \% \text{MgO}) - 0.3(\% \text{Fe}_2\text{O}_3 + \% \text{Al}_2\text{O}_3)} \quad (18)$$

计算表明，在沸腾期 $[\% \text{O}]_{\text{渣衡}} > [\% \text{O}]$ ，即炉渣中氧的浓度大于它在金属中的浓度。按照下式可以求出氧的浓度差：

$$\Delta[\text{O}]_{\text{金渣}} = [\% \text{O}]_{\text{渣衡}} - [\% \text{O}] = a_{\text{FeO}} \cdot L_{\text{FeO}} - [\% \text{O}] \quad (19)$$

由图 1 可见， $\Delta[\text{O}]_{\text{金渣}} > \Delta[\text{O}]$ 。这就证明，从炉渣向金属转移的氧流将遇到比其后在金属中所进行的过程环节中要大得多的

① 方程式 (18) 与以前发表过的方程式 [29] 的区别是，以重量百分数代替了克分子数，并且补充计入了 (P_2O_5) 和 (Al_2O_3) 的影响。考虑到克分子数换算成了重量百分数，分母中的系数被折成了整数。

阻力。

4. 碳的浓度和金属的过氧化程度

在許多著作中根据 $[\%C][\%O]$ 值来判断在沸腾的熔池中金属的过氧化程度。根据試驗数据[7, 18]，这个乘积的增长与 $[\%C]$ 呈直線关系。据此常常斷定，当 $[\%C]$ 低时，比 $[\%C]$ 高时金属过氧化的程度較小，并且更接近于平衡。这种見解的根据是不够充分的。

由图3可見，对上部金属层($P_{CO} \approx 1$ 大气压) $\Delta[O]$ 值随 $[\%C]$ 的降低而增加，由方程式(12)和(14)得：

$$\begin{aligned}\Delta[O]_e &= [\%O] - \frac{m}{[\%C]} = \frac{m(1 + H_{平均}\gamma_{金})}{[\%C]} + \Delta[O] - \\ &- \frac{m}{[\%C]} = \Delta[O] + \frac{mH_{平均}\gamma_{金}}{[\%C]}\end{aligned}\quad (20)$$

对于大型平炉，按試驗数据(15)：

$$\Delta[O]_e = \frac{0.0035}{[\%C]} + 0.004 - \frac{0.0025}{[\%C]} = \frac{0.001}{[\%C]} + 0.004 \quad (21)$$

因此，金属中过剩的氧(当 $P_{CO}=1$ 大气压时，与平衡的 $[\%O]$ 相比較)随 $[\%C]$ 的減少而增加，并且当 $[\%C] < 0.2$ 时，尤为显著(图3，曲綫2)。这是因为，为了保証在炉底上能生成CO气泡，在 $P_{CO}=1$ 大气压下， $[\%O]$ 应当比平衡含量至少高出同金属压力相当的数值 $(\frac{mH_{平均}\gamma_{金}}{[\%C]})$ 。这个差值随 $[\%C]$ 的減少而增大。

$[\%C][\%O]$ 的乘积随 $[\%C]$ 的增加而增大(图4)①，并不証明金属的“过氧化程度”增加。对于大型炉在純沸腾期，由方程式(15)可得：

$$[\%C][\%O] = 0.0035 + 0.004[\%C] \quad (22)$$

并在 $\Delta[O]$ 值相同时， $[\%O][\%C]$ 的乘积应随 $[\%C]$ 的增加而呈

① 在图3和图4中假定 m 为常数(0.0025)。假如考慮到 m 随 $[\%C]$ 而有某些变化，那么在这种情况下也将得到同样的結論。